双方向同時通話型ハンズフリーインタホン

Full-Duplex Hands-Free Intercom

福島 実* · 吉田 恵一* Minoru Fukushima Keiichi Yoshida

通話機筐体ごとに異なる音響結合特性に依存せずにエコー抑圧量の周波数特性が平坦となるエコーキャンセラと、刻々と変化する音響結合利得およびエコー抑圧量に追従して通話路に挿入する損失量の総和(総損失量)を逐次更新することを特徴とする総損失量適応型ボイススイッチを用いて、高音圧の周囲騒音環境においても短時間で総挿入損失量を低減して双方向同時通話状態を実現するハンズフリー通話アルゴリズムを考案した。

本技術の適用により、業界初の双方向同時通話型ハンズフリーインタホンを実現した。

A new algorithm for hands-free speech communication has been developed for enabling communication in a high noise environment by combining two echo cancellers to obtain a flat frequency characteristic of cancellation, independent from varying coupling characteristics of each terminal, and an adaptive voice switch, which continuously updates the total insertion loss into the communication path according to the varying coupling gain and echo cancellation quantity.

An algorithm for reducing the total insertion loss in a short time in a noisy environment has made the industry's first full duplex hands-free intercom possible.

1. ま え が き

近年、利便性、デザイン性、および省スペース化などの 理由から, 住宅で用いられるインタホンのハンズフリー化 が進んでいる。ハンズフリー通話を可能とするには、機器 から離れた位置においても受話音声を聞き取れるような音 量を確保する必要がある。しかし, 通話回路系の利得を単 純に増加すると、スピーカからマイクロホンへの音の回り 込み(音響結合)により形成される閉ループの一巡利得が 増加するため、ハウリングや不快なエコーを生じる。これ らを抑圧するための手段として、送受話音声信号のレベル に応じた配分で通話路に損失量を挿入するボイススイッチ1) (以下, VSと記す)が一般的に用いられてきた。しかし、 この方式は、比較的安価なハードウェアで構成できる利点 があるが、原理的に片方向通話方式であるため周囲騒音の 音圧が高くなると受話音声が途切れるという問題がある。 一方, この問題を解決するために, 通話路に損失を挿入せ ずにマイクロホンの出力信号に含まれるエコー成分のみを 相殺する手段であるエコーキャンセラ²⁾(以下, ECと記す) による双方向通話の実現をねらった製品例もみられる。し かし、ECを搭載しただけでは、通話開始直後の未収束状 態においてハウリングや不快なエコーを抑圧することができない。また、エコー抑圧量は刻々と変化し、かつ周波数特性をもつため、すべての周波数帯域において閉ループー 巡利得を所定値以下に抑える必要がある。

これらの課題を解決するため、筆者らは、独自のエコーキャンセラ二つと、総挿入損失量を通話系の一巡伝達利得に応じて更新する総損失量適応型ボイススイッチ(以下、AVSと記す)を核として構成し、高音圧の周囲騒音環境においても二つのECを偏りなく収束させることにより短時間での総挿入損失量の低減を可能とする通話アルゴリズムを構築した。

2. インタホンの技術的課題

類似の技術は、ハンズフリー電話機、会議システムなどにもみられる³⁾ が、インタホンでは次のような特有の技術的課題がある。

(1) 多様な設置環境への対応

宅内端末はリビング、寝室、浴室などの各部屋、また、 宅外端末は外壁面やサインポスト、集合住宅における共 用玄関部などと設置環境はさまざまなため、周囲の残響

^{*} 情報機器事業本部 情報機器 R & D センター Research & Development Center, Information Equipment & Wiring Products Manufacturing Business Unit

特性がそれぞれ異なる。したがって、いかなる設置環境 においてもハウリングなく安定した通話性能を確保する 必要がある。

(2) 高レベルの周囲騒音への対応

図1に示すように、宅内の周囲騒音としてはTV、警 報機, 換気扇の回転音などが存在し, また宅外では, 道 路騒音, 工事騒音, 風切り音などが存在する。これらの 騒音の音圧は設置環境や時間帯などによりさまざまであ るが、最大で80 dB以上となる場合もある。このような 騒音下においても受話音声の途切れがない, 安定した通 話性能を確保する必要がある。

(3) 相手側通話機の音響特性への対応

相手側通話機(子器)としては、図2に示すように、 インタホン子器,「ロビーインタホン」, 宅内端末(内線 端末)などがあり、それぞれ、音響特性(マイクロホン、 スピーカの感度など)が異なる。したがって、相手側通 話機の特性も考慮したシステム設計が必要となる。

2.1 構築したアルゴリズム

構築したアルゴリズムをハンズフリーインタホン親機に 搭載したときの子器との間の通話システム構成図を図3に 示す。図3においては、親機-子器間の音声通信はアナロ グ2線伝送方式(ペア線を介して双方向に信号を伝送する 方式)によるものとしており、Hは2線-4線変換回路で ある。構築したアルゴリズムは親機の通話回路内に搭載さ れるものであり、二つのEC (EC1, EC2)、およびAVSを 核として構成される。また、T-ATT、R-ATT はそれぞれ送 話路および受話路へ挿入される減衰器を表し、その利得 G_T , G_R は挿入利得制御部によって刻々と更新される。ここ

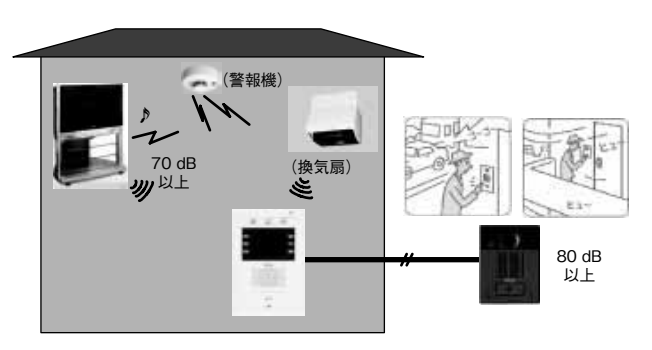


図1 住環境におけるさまざまな周囲騒音



図2 相手側通話端末の種類

で、AVSから親機のスピーカ、マイクロホン側をみたと き, R-ATTからの出力点 (Rout) からスピーカに至り, 音響結合路を経てマイクロホンへ到達し、さらに送話路を 経てT-ATTへの入力点(Tin)へ帰還する回り込み経路 α が存在する。また、AVSから子器側をみたときには、T-ATT からの出力点 (Tout) からHでの回り込み (β 1), および子器での音響結合による回り込み (β 2) を経てR-

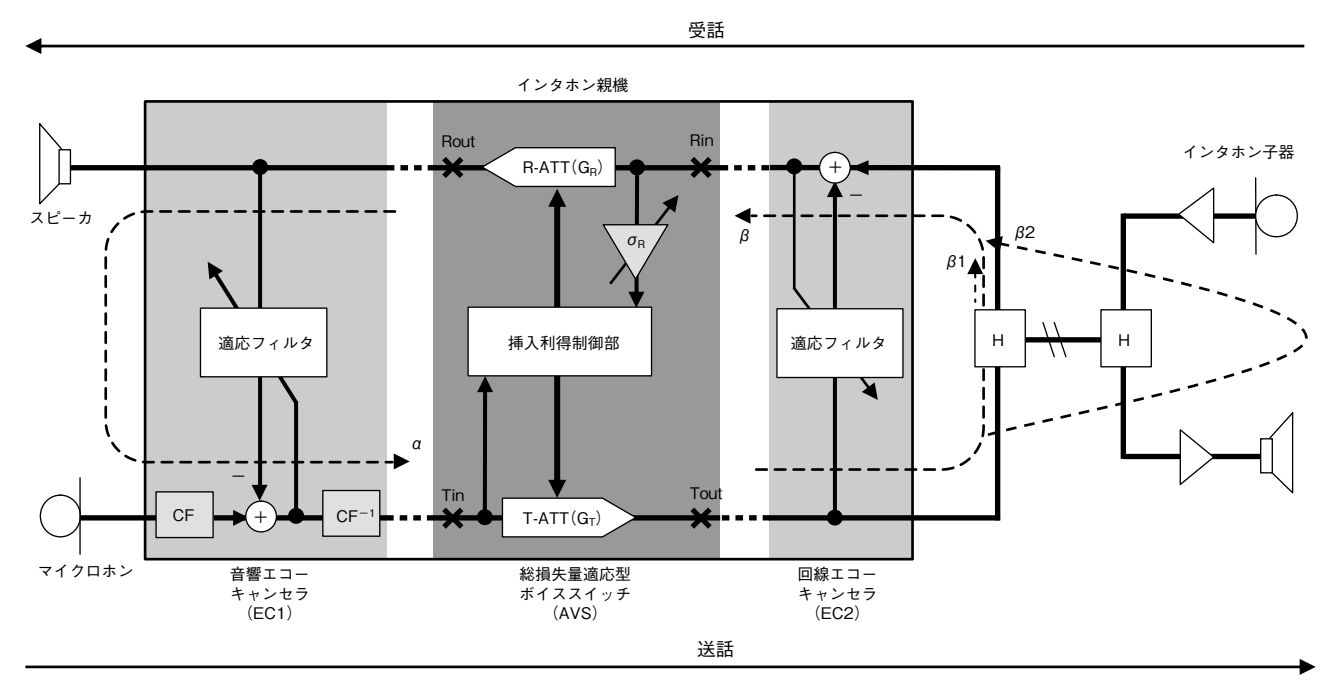


図3 構築したアルゴリズム

ATTへの入力点(Rin)へ帰還する回り込み経路 β が存在する。二つのECは,送受話信号に対して損失を与えずにこれらの回り込み α , β の利得のみを低減する。これにより,閉ループ(α → T-ATT → β → R-ATT)の一巡利得が減少するためハウリングに対する余裕度(以下,ハウリングマージンと記す)が増加する。その結果,二つのECが収束するのに伴ってAVSにおける総損失量(G_T ・ G_R) $^{-1}$ が低減するため,双方向同時通話性能を実現することができる。

2.2 VS における総損失量制御

一般に、VS は通話状態の推定結果に基づき二つの減衰器の利得 G_T , G_R を調整する。すなわち、親機側話者が発声状態と推定した際には G_T を最大値(通常は 0 dB), G_R を最小値(- Lt dB)とし,子器側話者が発声状態と推定した際には G_T を最小値, G_R を最大値とする。推定された通話状態に対する G_T , G_R の遷移を図4に示す。

従来の VS では総損失量 Lt は時刻 n に依存せずに一定で

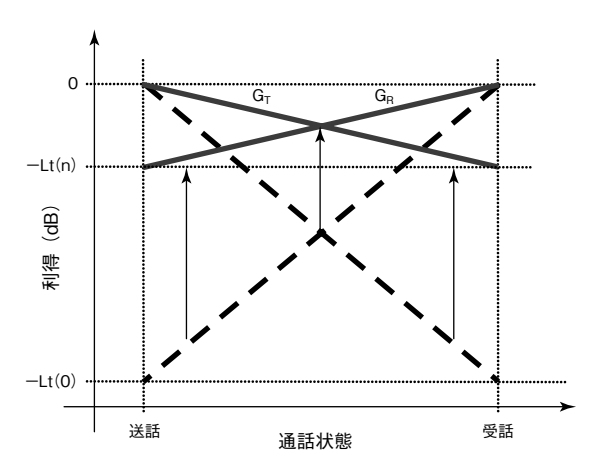


図4 挿入利得 G_T, G_Rの遷移

あり、Lt(n) = Lt(0) としていた。ここで、Lt(0) はLto 初期値であり、ECが未収束の通話開始直後においてもハウリングを生じないために必要な損失量を示しており、子器も含めた通話機筐体の音響特性、設置環境における残響特性などをもとに設計される値である。

一方,AVSにおいては,刻々と変化する二つの回り込み α , β の利得を推定し,それらの値に基づいてLtを更新することに特徴がある。すなわち,通話開始後,しばらく会話を行うと二つのECが収束し,回り込み α , β が低減する。その結果,通話系に形成されている閉ループの一巡利得 G_{LP} が低減する。ここで, G_{LP} は式(1)から求められるものであるが, α , β が周波数特性をもつことから G_{LP} も周波数特性を有することになり, G_{LP} が1(=0 dB)を超える周波数が存在するとその周波数でハウリングが生じる。

$$G_{LP}(f) = |\alpha(f)| \cdot G_T \cdot |\beta(f)| \cdot G_R = Lt^{-1}|\alpha(f)| \cdot |\beta(f)|$$
 (1) したがって、VSのLtは次式を満足する必要がある。

$$Lt > MAX[|\alpha(f)| \cdot |\beta(f)|]$$
 (2)

ただし、fは周波数を表す。

ここで、話者が通話機に近づくなどのエコー経路の変動や高音圧の周囲騒音などの外乱によってECの抑圧量が低下した場合には、式(2)の右辺は大きく変動する。したがって、Ltの算出の際には、ある程度のハウリングマージンを考慮して大きめの値にする必要がある。一方、ECが正常に収束した場合には、速やかにLtを低減し、双方向同時通話状態へ移行させなければならい。これらを両立させるためには、 $MAX[|a(f)|\cdot|\beta(f)|]$ を精度良く推定する必要がある。筆者らが提案するAVSにおいては、次節で述べるアルゴリズムによって $MAX[|a(f)|\cdot|\beta(f)]]$ を求める。

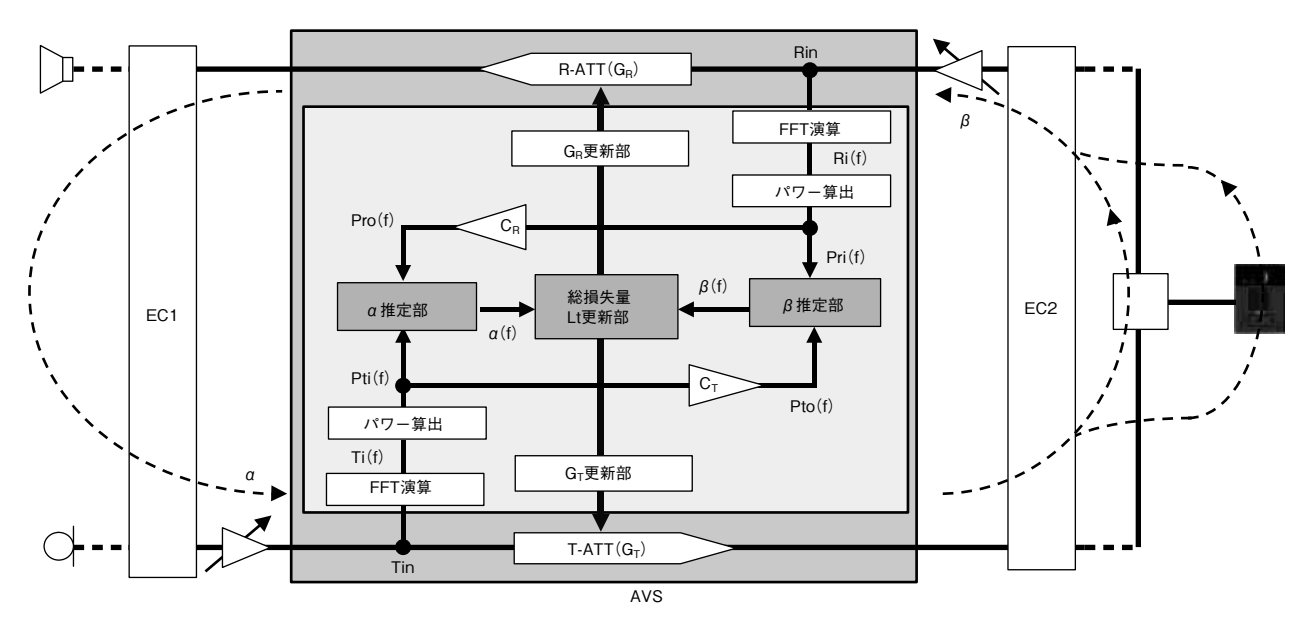


図5 総損失量Ltの更新処理

2.3 回り込み利得α, βの推定

音響側回り込み利得α,回線側回り込み利得βの推定処 理部、およびこれらの推定値に基づく総損失量Ltの更新 処理部に着目したブロック図を図5に示す。本アルゴリズ ムにおいては、まず、送話路および受話路に挿入される減 衰器への入力信号 Tin, Rin に対して FFT 演算を施し、それ ぞれのスペクトルTi(f), Ri(f)を求める。次に,これらの スペクトルに対して瞬時パワー演算を行い、Pti(f)および Pri(f)を求める。さらに、これらの瞬時パワーに対して C_T および C_R を乗算し、Pto(f)、Pro(f)を算出する。ただし、 C_T , C_R は通話路への挿入利得 G_T , G_R とともに遷移する乗算 係数を表し、 $C_T \cdot C_R = -Lt(0)$ の関係をつねに保つ。す なわち、 C_T 、 C_R は図4における破線に沿って通話状態に応 じて遷移する。 α 推定部および β 推定部においては、この ようにして得られたPti(f), Pri(f), Pto(f), Pro(f)を用いて, 次式のように $\alpha(f)$, $\beta(f)$ を求める。

$$\alpha(f) = \frac{Pti(f)}{Pro(f)} \tag{3}$$

$$\beta(\mathbf{f}) = \frac{\text{Pri}(\mathbf{f})}{\text{Pto}(\mathbf{f})} \tag{4}$$

次に、Lt更新部においては、通話帯域内における $\alpha(f)$ と $\beta(f)$ の積の最大値 $MAX[\alpha(f) \cdot \beta(f)]$ とハウリングマージン の所望値 (-HM dB) との比較により、Lt を更新する。 すなわち、Lt は式 (5)、式 (6) で与えられる。なお、 HMはエコーキャンセラが未収束時などにおいてもハウリ ングを生じずに安定した通話を確保するためにあらかじめ 設計したハウリングマージンを表す。

(if MAX[
$$\alpha(f) \cdot \beta(f)$$
]> – HM dB)
Lt = MAX[$\alpha(f) \cdot \beta(f)$] + HM dB (5)

(6)

Lt = 0 dB

図6にこれらの演算を模式的に示す。いま、FFTのポイ ント数を8点とすると、 $\alpha(f)$ 、 $\beta(f)$ はナイキスト周波数 (サンプリング周波数の1/2) 以下の帯域を4分割したと きの各帯域におけるスペクトルを表す。図6においては、 $\alpha 1 \sim \alpha 4$ および $\beta 1 \sim \beta 4$ がこれに相当する。

次に、各帯域ごとに $\alpha i \cdot \beta i \ (i=1\sim 4)$ を算出し、そ の最大値を求める。図6に示す例では、最大値は α 2・ β 2 である。この値が-HM dBを超えている場合には、その 超過分が所要総損失量Ltとなる。このような演算により Ltを更新していくことにより、つねにハウリングマージン を設計値(HM dB)に保つことができる。

2.4 エコー抑圧量の周波数特性の改善

ECにより得られる抑圧量はエコー経路の特性に依存し、 複雑な周波数特性を有している。さらに通話機筐体におけ

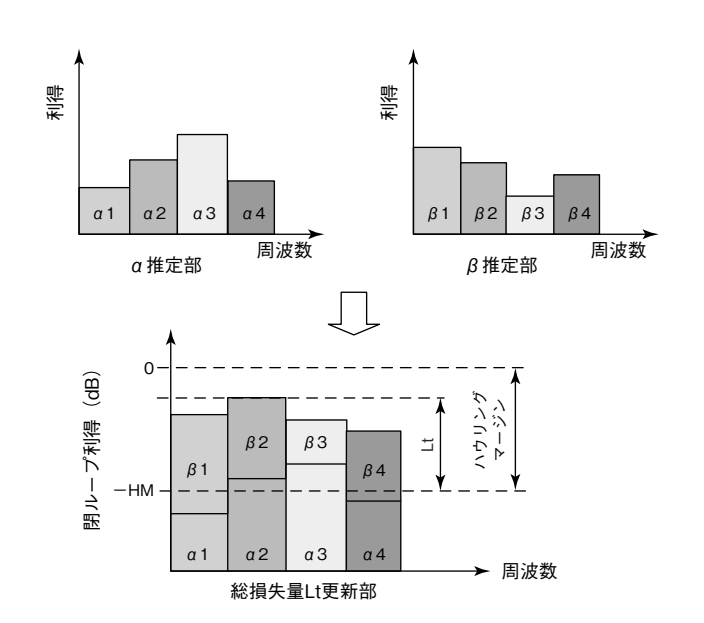


図6 所要総損失量Ltの高精度推定

る音響結合特性によっては十分なエコー抑圧量を得られな い周波数帯域が存在する可能性がある。一方、前節で述べ たように、ハウリングマージンは $|\alpha(f) \cdot \beta(f)|$ が最大となる 周波数における閉ループ一巡利得により定まる。したがっ て、通話帯域内においてエコー抑圧量が得られない帯域が ある場合には、ハウリングマージンの増大が期待できない。 この問題を改善するため、筆者らは、図7に示すようにマ イクロホンからの出力信号sに対して補正フィルタCF (以下, CFと記す) を挿入することにより, エコー経路の 周波数特性を補正する方式を考案した。

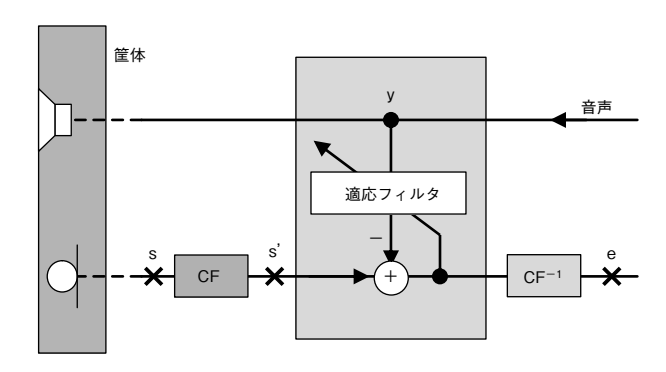


図7 エコー特性補正フィルタ CF の挿入

ここで、図8に示すように、CFはエコー経路の周波数 特性において利得が低い帯域を強調する特性をもつ。すな わち, エコー経路の周波数特性を平坦化することにより, 全帯域で一様にエコー抑圧量を得ることをねらいとする。 また、フィルタCF-1はCFの逆フィルタであり、CFによ る強調処理を相殺するような周波数特性をもつ。このよう な構成により、マイクロホンにより集音される通話者の音 声(すなわち,送話音声)に対しては周波数特性を変化さ

(else)

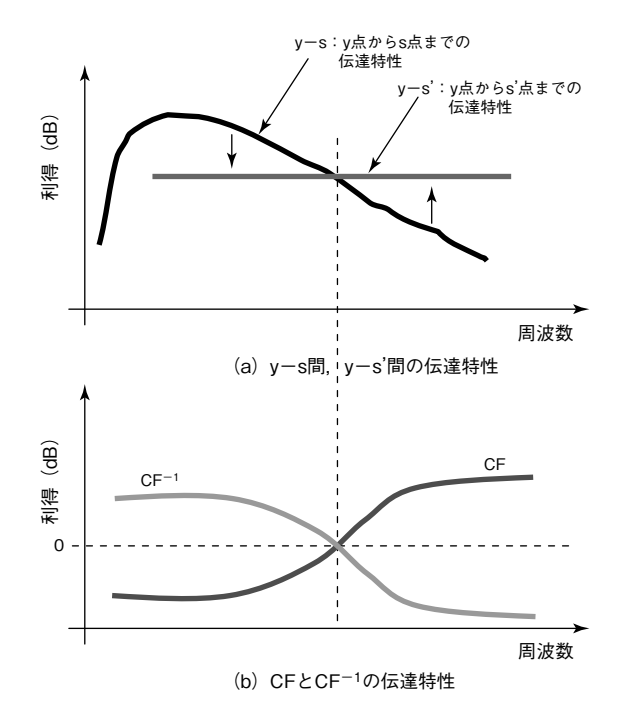


図8 CFによるエコー経路の周波数特性の補正

せずに相手側端末に伝送することができる。

図9は本方式の有効性を検証するために行ったエコー抑 圧特性の実測結果を示す。測定手順は以下のとおりである。

- (1) ECを動作させずに、受話信号yとして白色雑音を入力したときにe点に出力される信号のパワースペクトルを測定(学習前のeのスペクトル)。
- (2) yをテスト音声としてECを2秒間程度,適応動作。
- (3) ECの学習を止め (フィルタ係数は保持), yを白色雑音に戻し, e点に出力される信号のパワースペクトルを測定(学習後のeのスペクトル)。

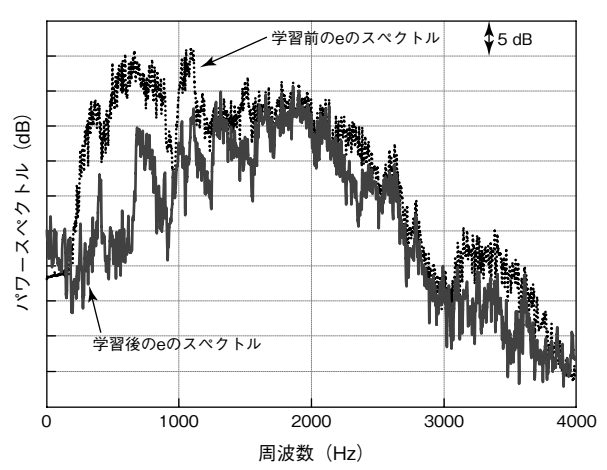
なお、本測定においては、CFは2kHz以上の帯域を強調する特性とした。従来方式(a)に対し、提案方式(b)ではCFにより強調処理を施した高域においても良好なエコー抑圧量(学習前と学習後の差)を得ており、本方式の有効性が確認できている。

2.5 周囲騒音下における通話性能向上

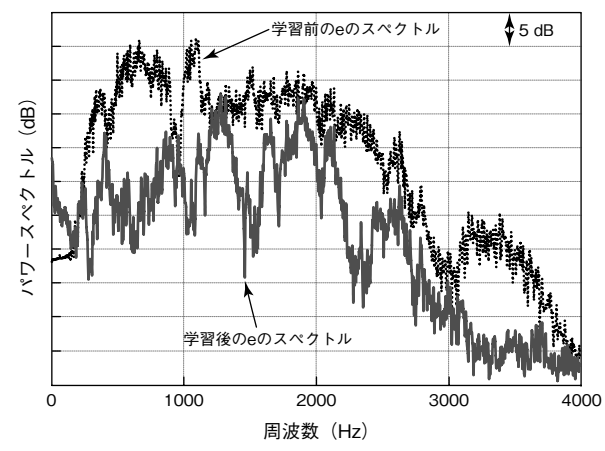
図3に示した通話系において、子器側の周囲騒音レベルが高い場合、以下の問題について考慮する必要がある。

- (1) VS を送話状態に遷移させにくい。
- (2) EC2の収束が進まず、 β の利得を低減できない。

ここで,(1) の解決は従来のVS を用いて構成される片方向通話型ハンズフリー通話機と共通の課題である。これは,VS の挿入利得制御部で挿入利得の配分を決定するための参照点(Tin, Rin)において,「送話信号パワー」 \ll 「受話信号パワー」となるためである。さらに,図 10 を用



(a) 従来方式 (CF, CF⁻¹なし)



(b) 提案方式 (CF, CF⁻¹あり)

図9 エコー抑圧特性の実測結果

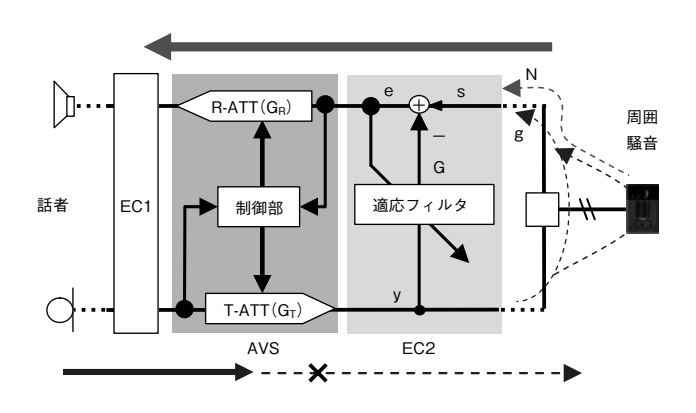


図10 周囲騒音により生じる課題

いて(2)に関して説明する。

- (a) G_T からの出力信号Vのレベルが小さくなる。
- (b) 回線側での回り込みによるエコーgが小さくなり、子器からの入力信号(周囲騒音)Nとの関係が $g \ll N$ となる。
- (c) 減算器への入力信号 s は N とほぼ等しくなり、N は y とは相関がない外乱成分であるため収束しない。

(d) EC2によるエコー抑圧量が得られないため、回り込 みβの利得を低減できない。

以上のように、(2) は(1) の結果として2次的に生じ るものであるため。(1)を解決することが本質的な対策で ある。これに対して筆者らは、図11に示すように受話信 号参照点 (Rin) から挿入損失量制御部までの経路上に自 動感度補正利得 σ_R を挿入する方式を考案した。

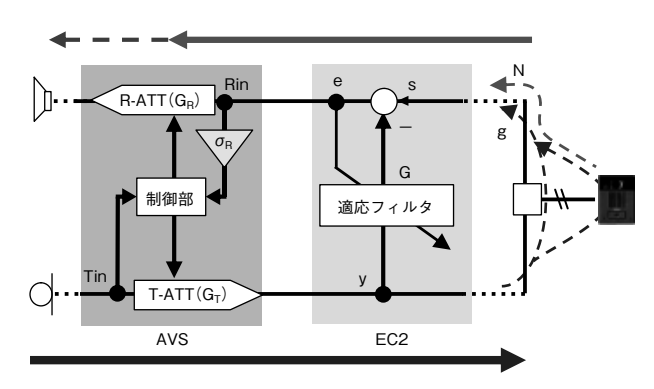


図11 自動感度補正利得による通話性の改善

 σ_{R} の利得は、初期値は0dBに設定されている。また、 通話状態においては、親機側および子器側の周囲騒音レベ ルをつねに推定しており、それらの推定値に基づき $\sigma_{\rm R}$ を 更新する。すなわち、親機側に対して子器側の周囲騒音レ ベルがきわめて高い場合、AVSの制御部に入力される送 受話信号は、「送話信号パワー」≪「受話信号パワー」と なっており, 通話状態の推定結果が受話側に片寄ってしま う。自動補正利得 σ_R はこの差を補正するものであり、こ のような状態において利得を低減することにより,「受話 信号パワー」を実際よりも小さく見積もることとなり、推 定される通話状態が受話側に片寄るのを防止することが可 能となる。これにより、親機側の話者が発声すればAVS は送話状態となり、EC2に対して十分な大きさの参照信号 yを与えることができ、収束を早めることができる。

3. 実機における通話性能

構築したアルゴリズムを高性能マイクロコンピュータま たはDSP (Digital Signal Processor) に実装し、図12に示 す集合住宅系セキュリティーインタホン [Smart MONION] および高機能玄関番「HOMITY」に搭載している。

いずれもハンズフリー通話機として十分な音量、音質を 有しており、ハウリングや不快なエコーを生じることなく、 80 dB以上の周囲騒音環境下においても言葉切れのない良 好な通話性能を確認している。

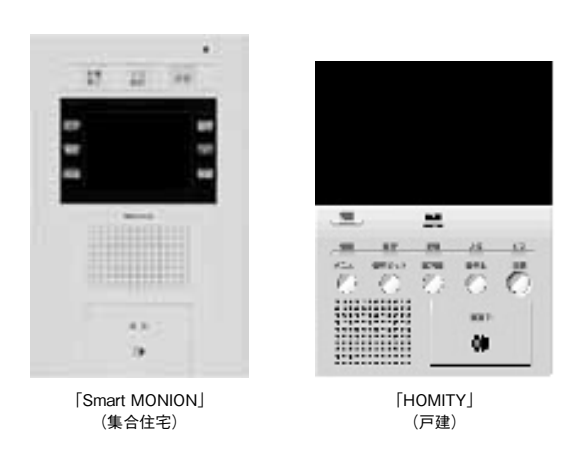


図12 本アルゴリズムの適用製品例

4. あ と が き

通話機筐体ごとに異なる音響結合特性に依存せずにエ コー抑圧量の周波数特性が平坦となるエコーキャンセラと, 刻々と変化する音響結合利得およびエコー抑圧量に追従し て通話路に挿入する損失量の総和(総損失量)を逐次更新 することを特徴とする総損失量適応型ボイススイッチを用 いて、高音圧の周囲騒音環境においても短時間で総挿入損 失量を低減して双方向同時通話状態を実現するハンズフ リー通話アルゴリズムを考案した。

本技術の適用により、業界初の双方向同時通話型ハンズ フリーインタホンを実現した。

本アルゴリズムの特徴をまとめると、以下の3点が挙げ られる。

- (1) FFT を用いた周波数領域での回り込み利得の算出によ る所要総損失量の高精度推定。
- (2) 筐体ごとに異なる音響経路の周波数特性の補正による エコーキャンセラの抑圧性能の向上。
- (3) 周囲騒音下におけるボイススイッチの自動感度補正処 理によるエコーキャンセラの収束の高速化。

また、本アルゴリズムを当社製インタホンに搭載し、ハ ンズフリー通話機として十分な音量, 音質を有し, 良好な 通話性能が得られることを確認している。

*参考文献

- 1) 加藤 邦紘, 松田 亮一:音声スイッチ回路の動作解析と設計法,電子情報通信学会誌, Vol. 56-A, No. 5, p. 293 (1973)
- 2) 辻井 重男:エコーキャンセラ技術, 日刊工業技術センター (1986)
- 3) 古川 博基, 金森 丈郎, 茨木 悟, 直野 博之:ハウリング検出機能を有したエコーキャンセラ型拡声通話回路, 電子情報通信学 会春季全国大会,分冊1,p.338 (1991)

◆執筆者紹介



福島 実 情報機器R&Dセンター 電気通信主任技術者



吉田 恵一 情報機器R&Dセンター